

Fig. 1 PRIOR ART

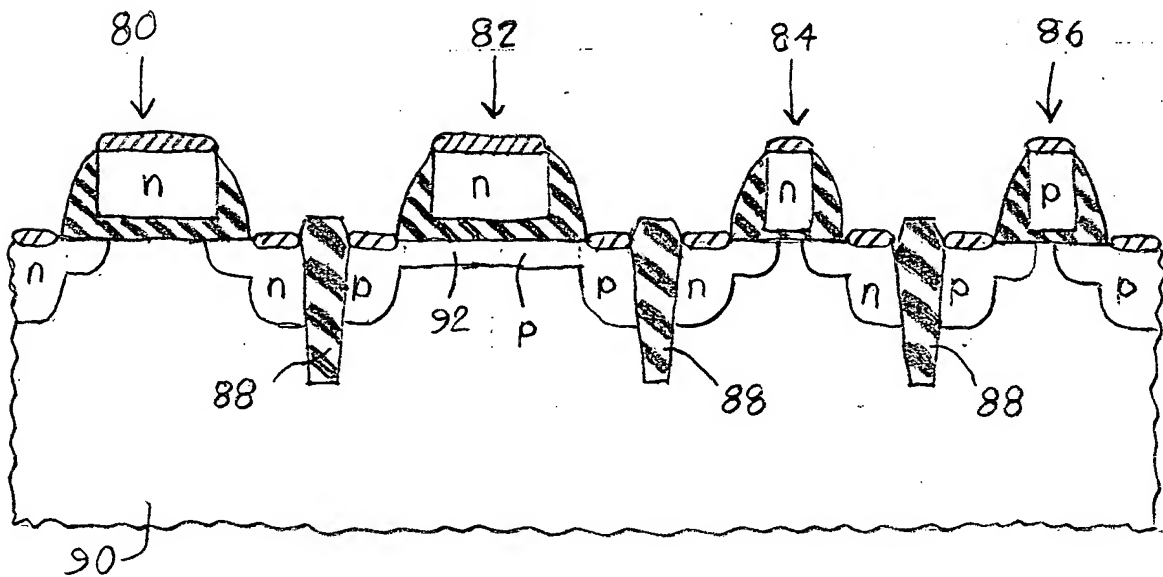


Fig. 2 PRIOR ART

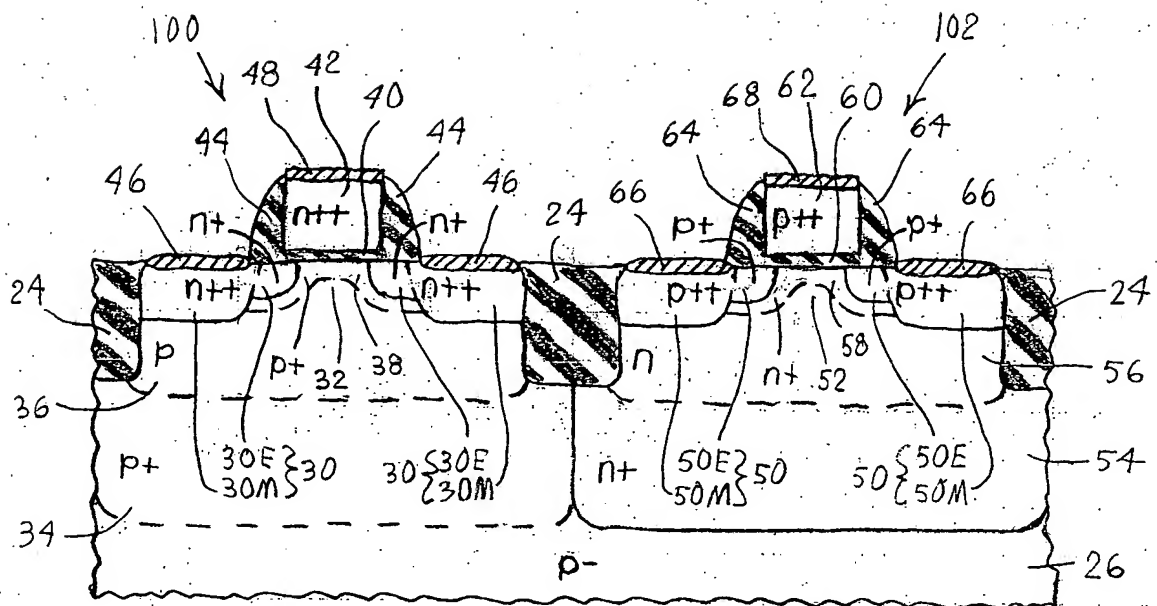


Fig. 3.1

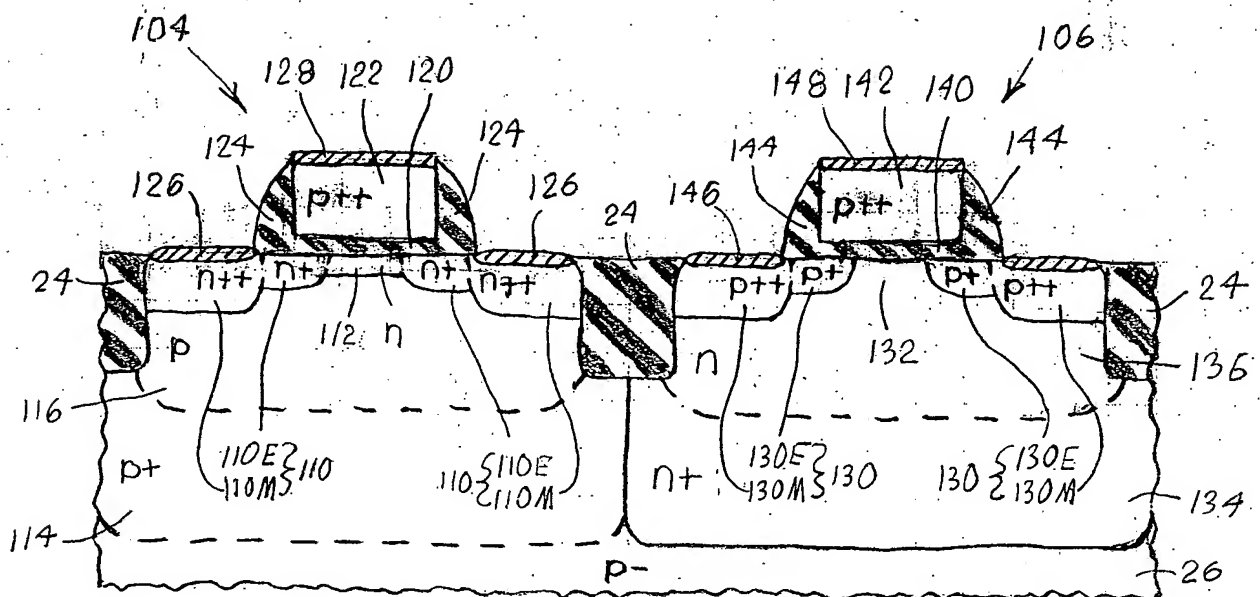


Fig. 3.2

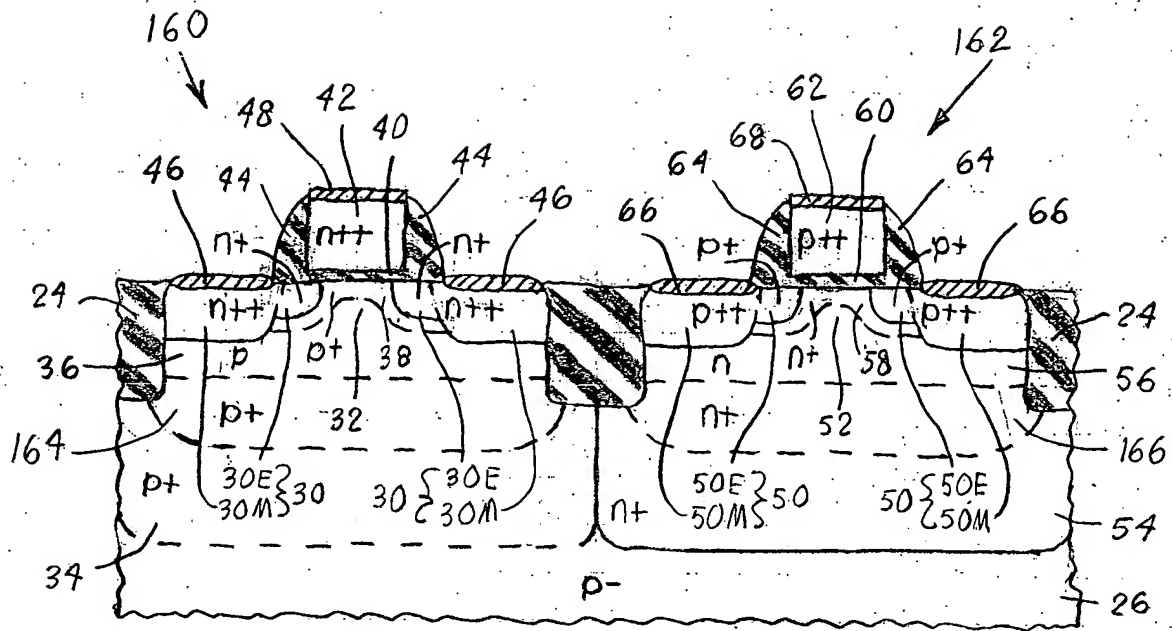


Fig. 4

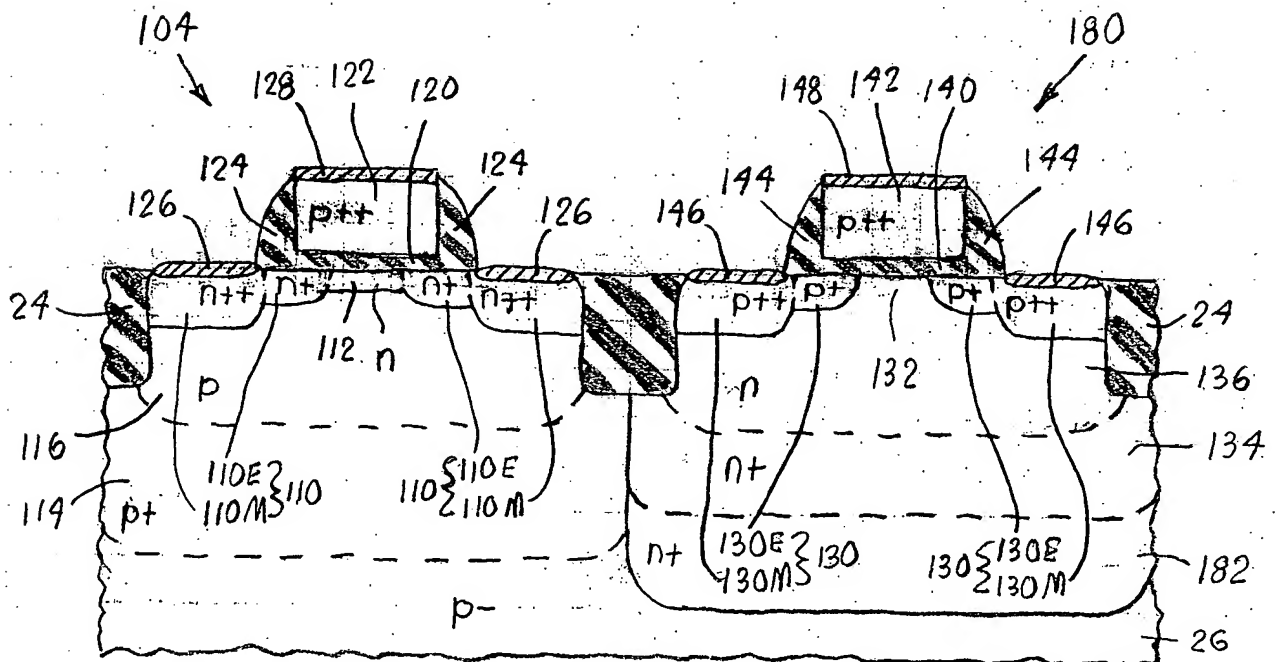


Fig. 5

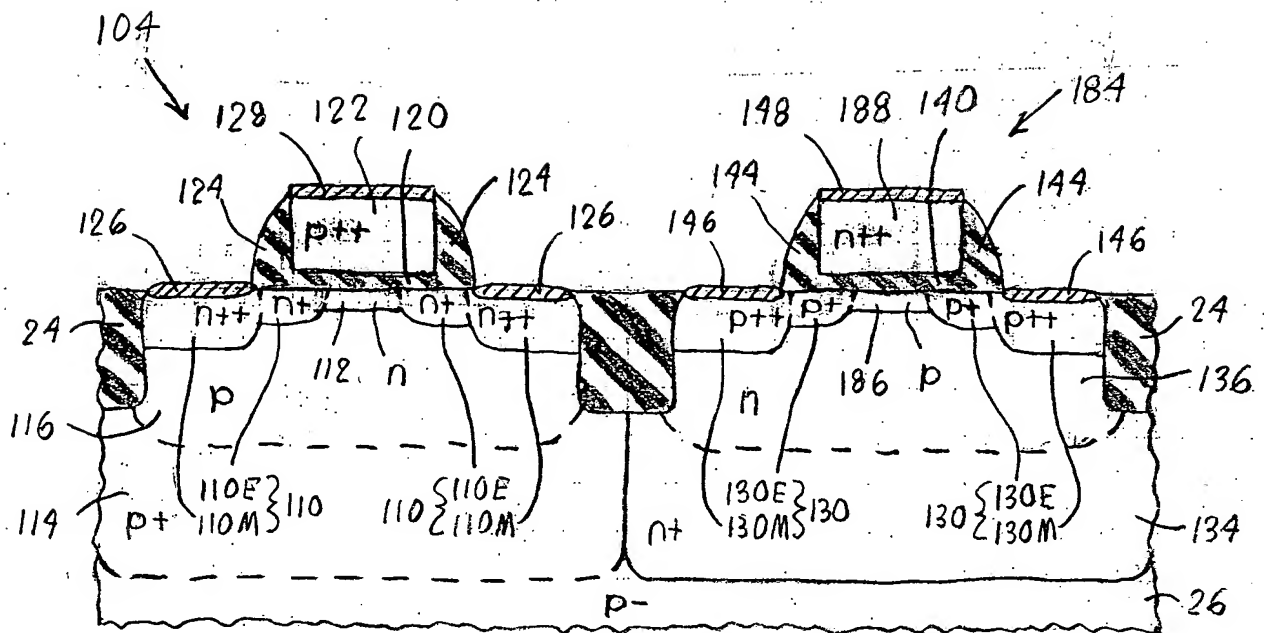


Fig. 6

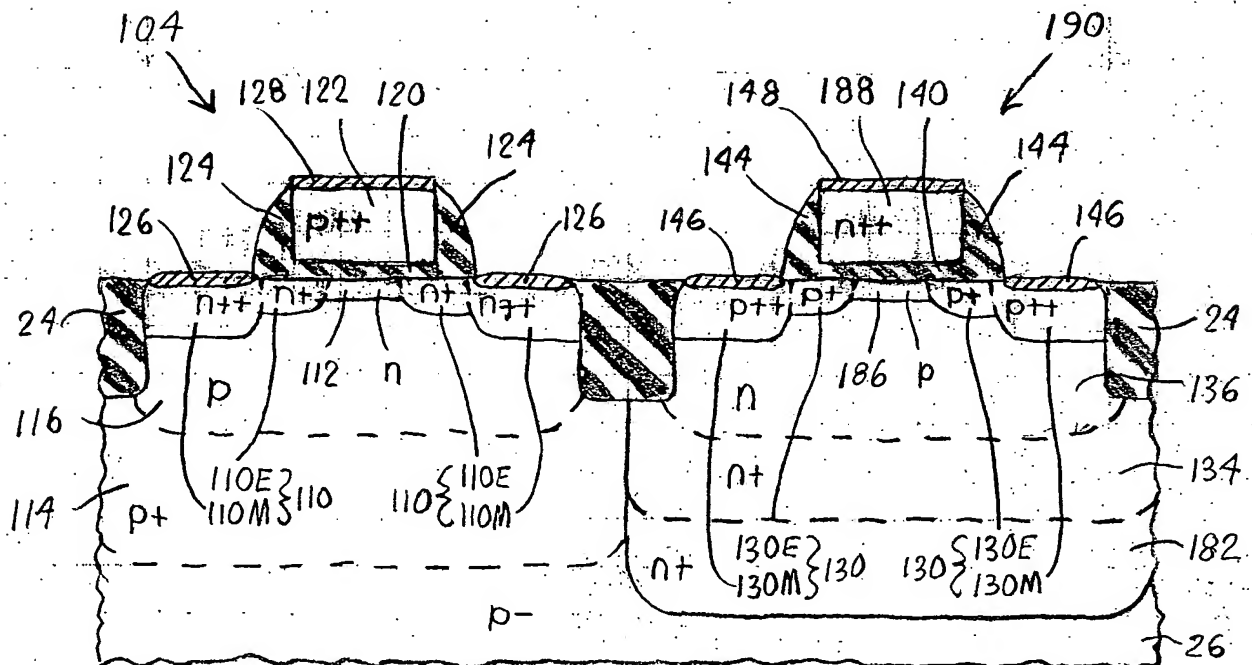


Fig. 7

N-channel CJIGFET,  $N_B = 3 \times 10^{16} \text{ cm}^{-3}$ ,  $N_{POLY} = 10^{20} \text{ cm}^{-3}$ ,  $t_{GD} = 10 \text{ nm}$

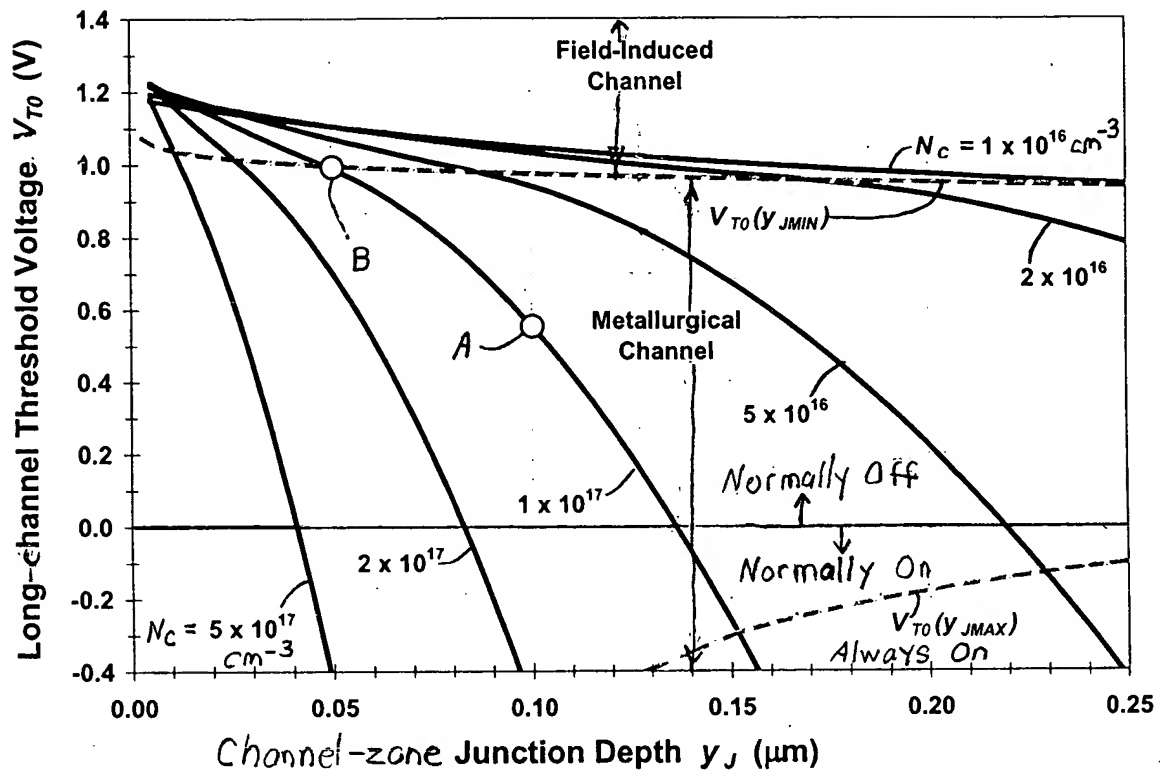


Fig. 8

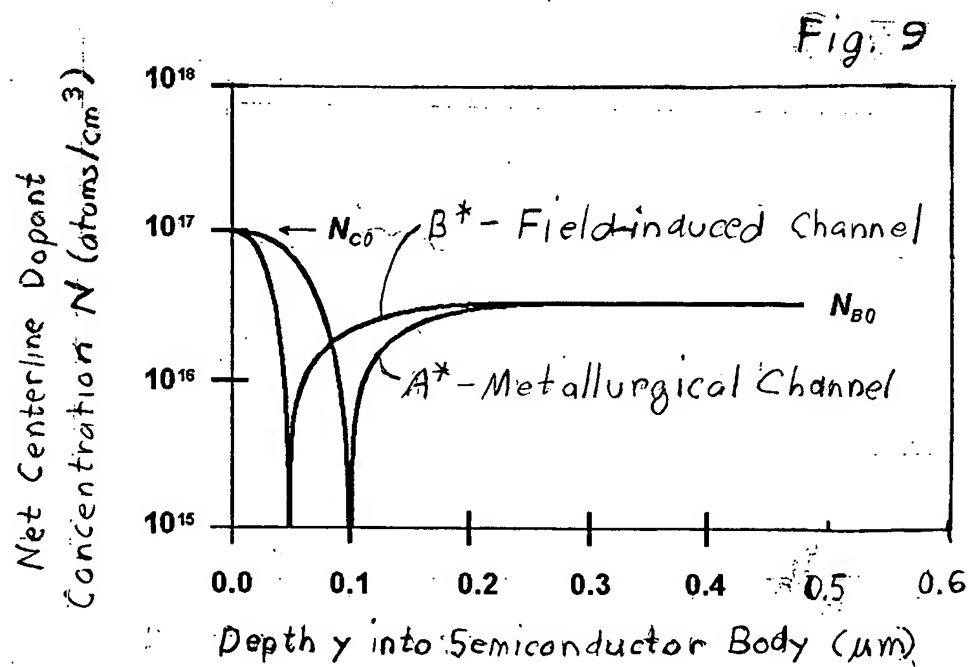


Fig. 9

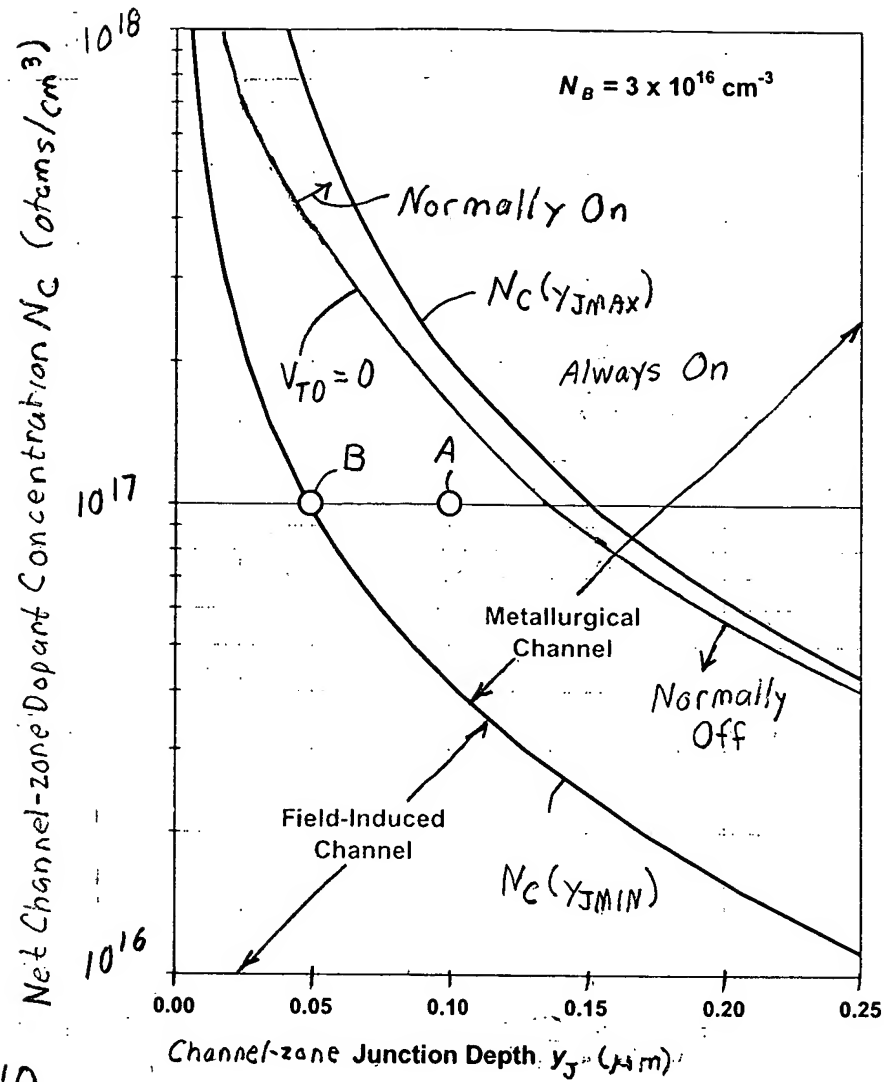


Fig. 10

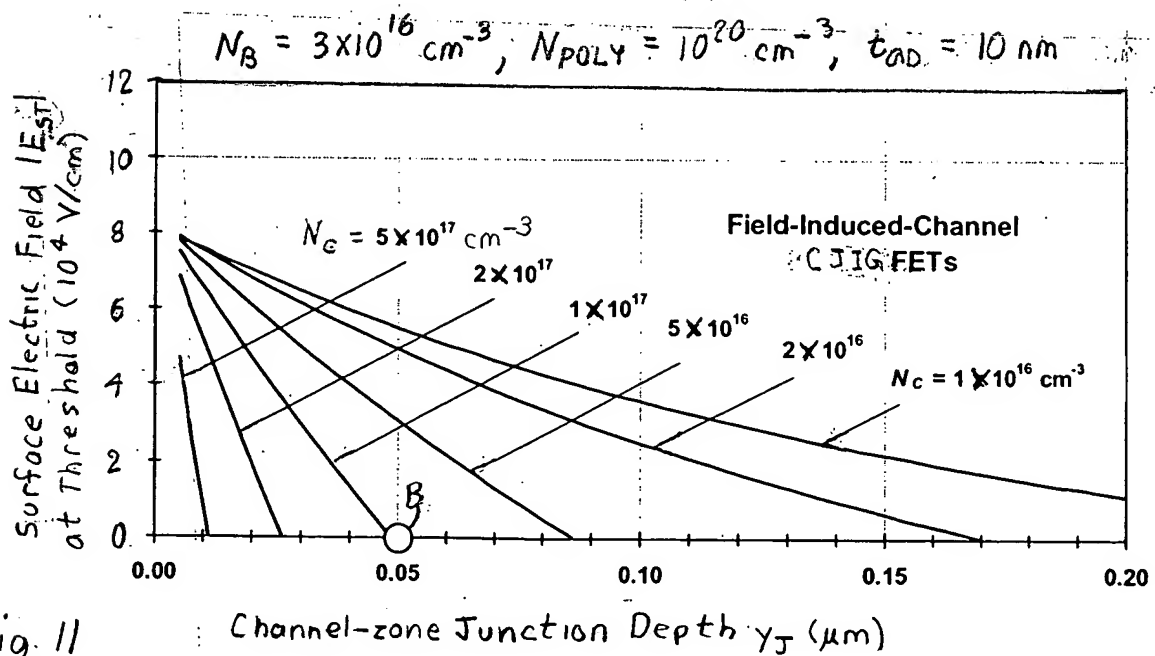


Fig. 11

Fig  
12a

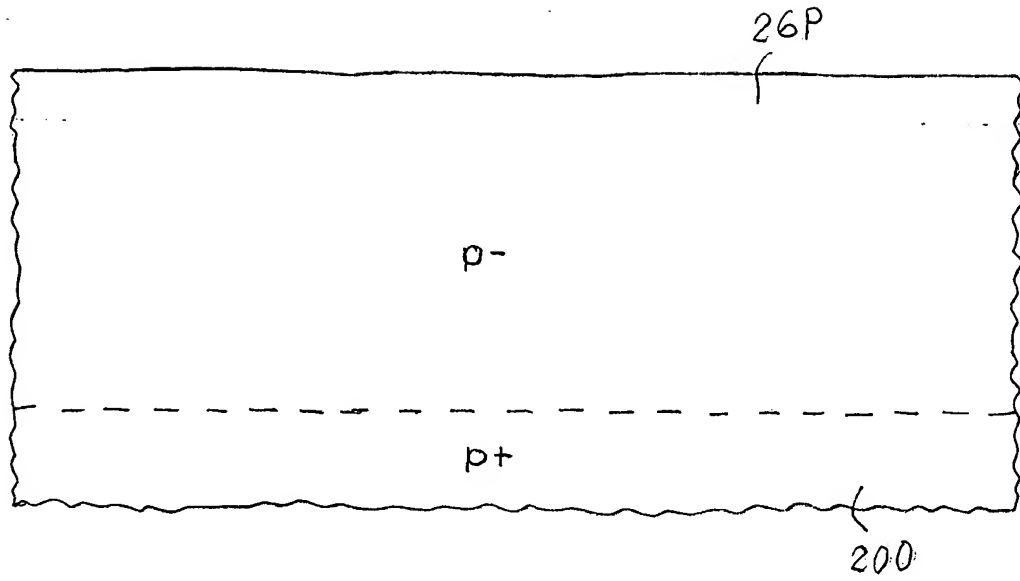


Fig.  
12b

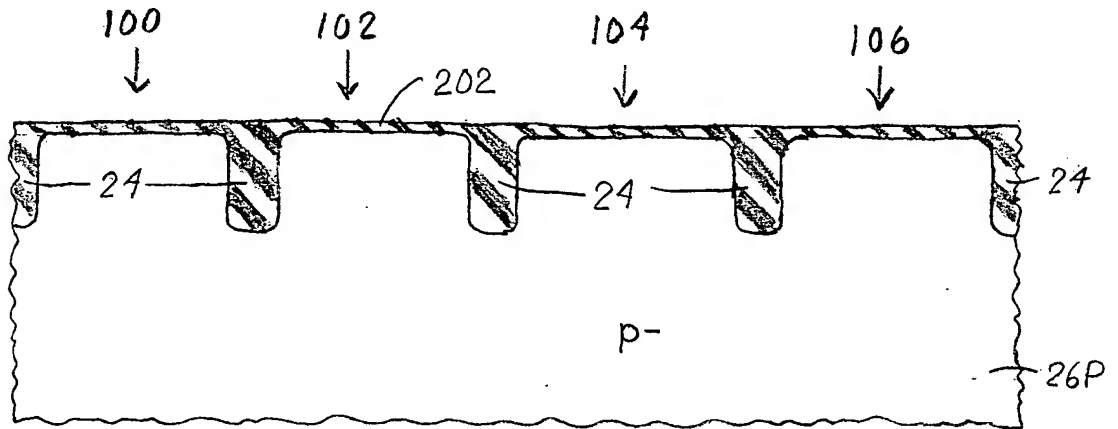
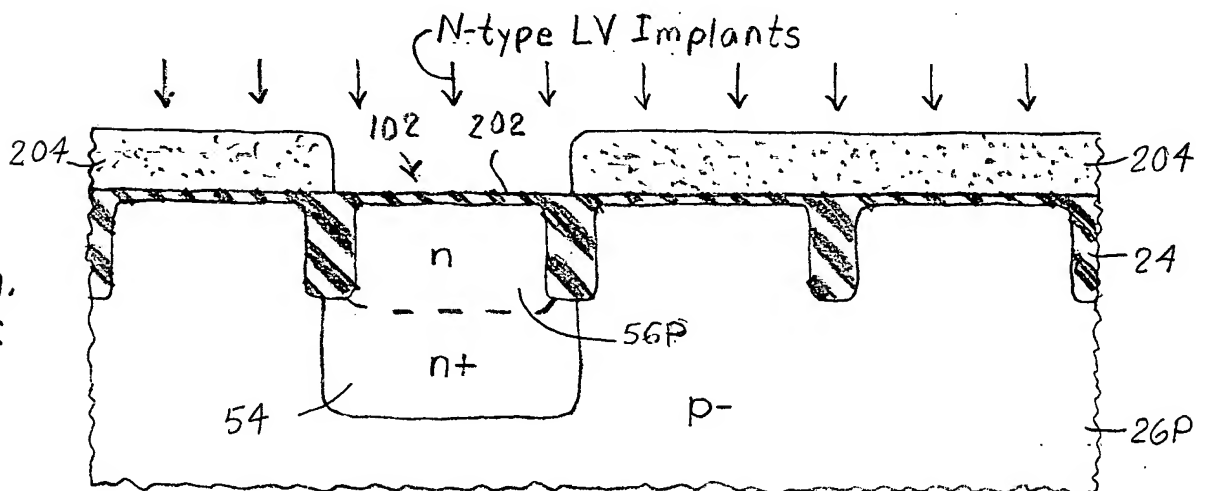
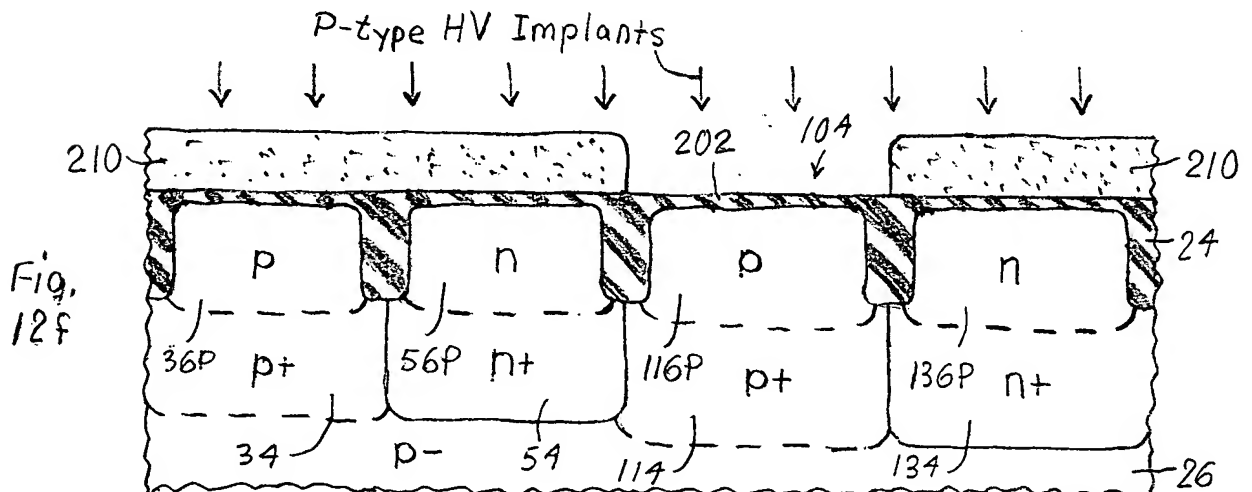
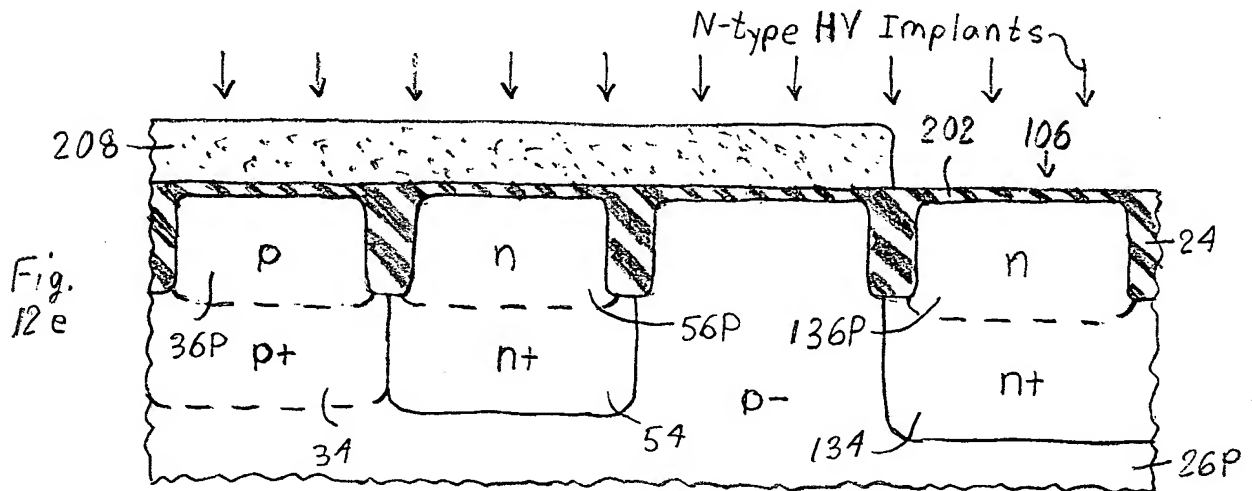
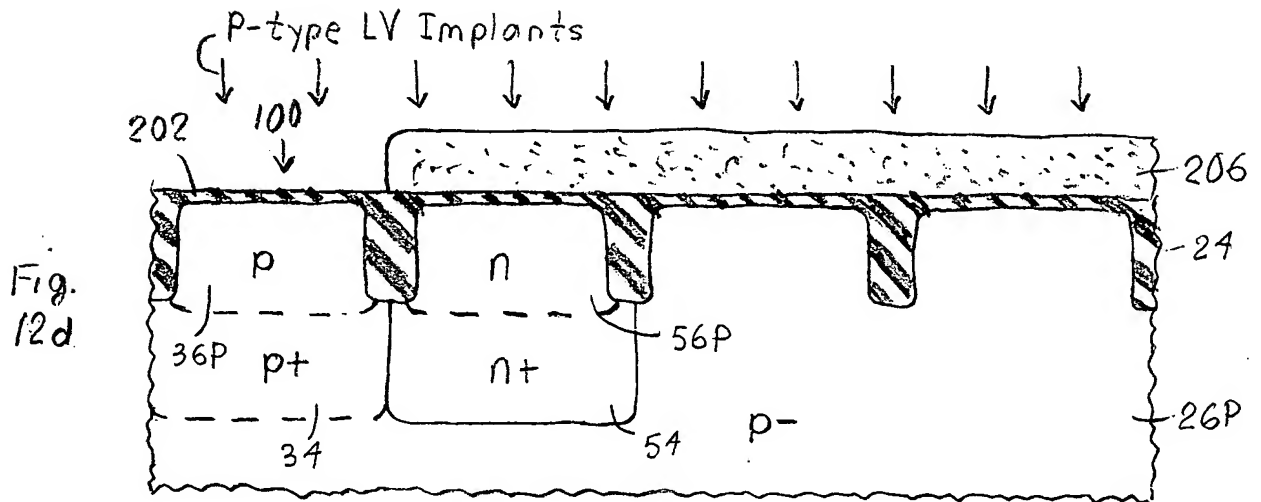


Fig.  
12c







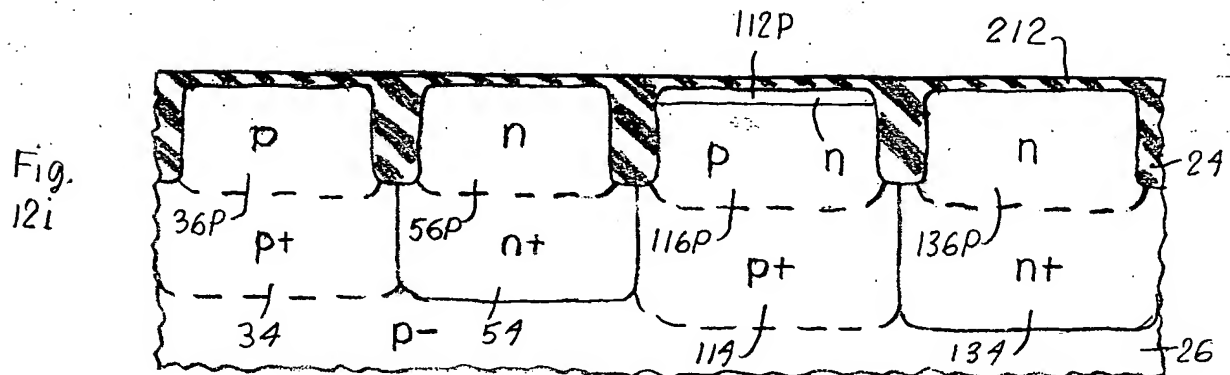
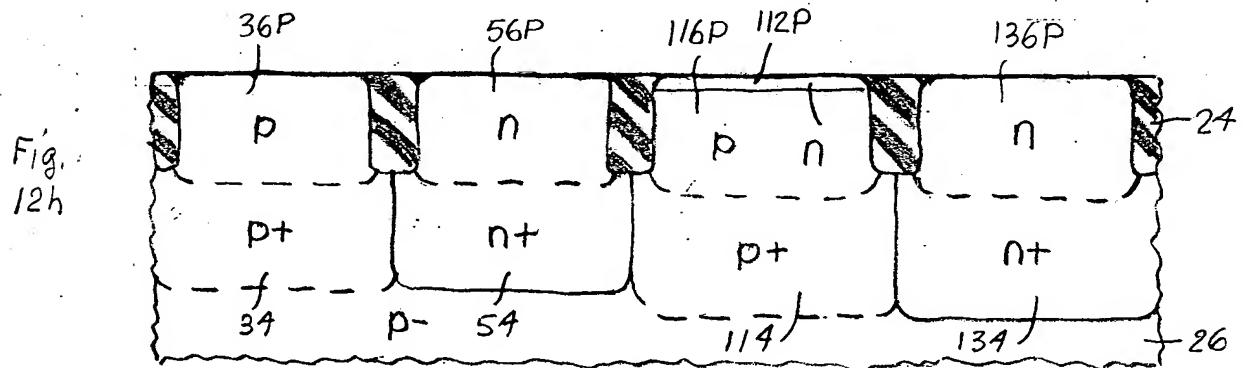
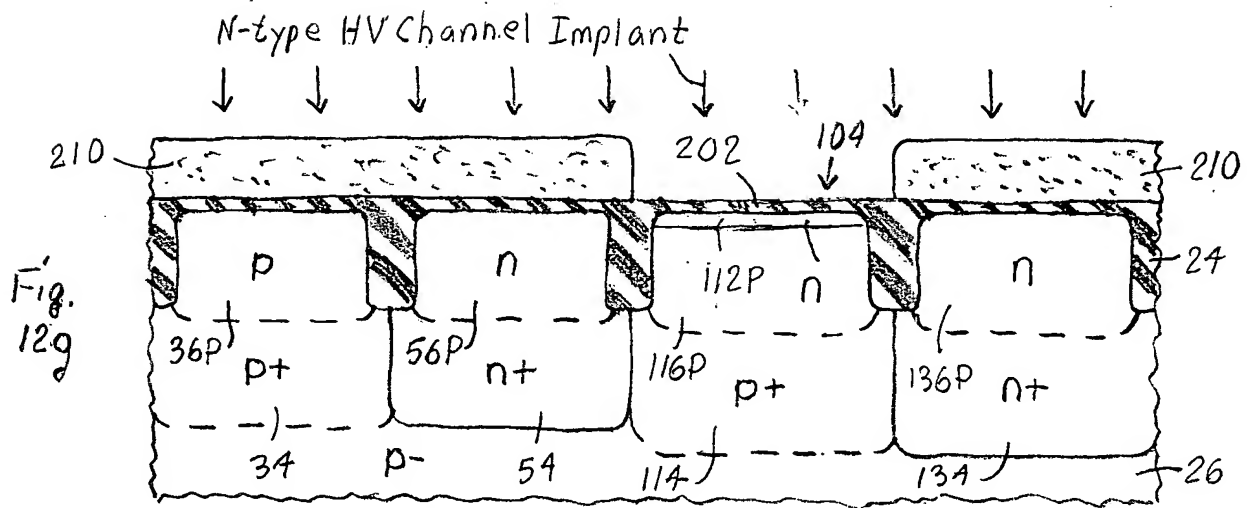
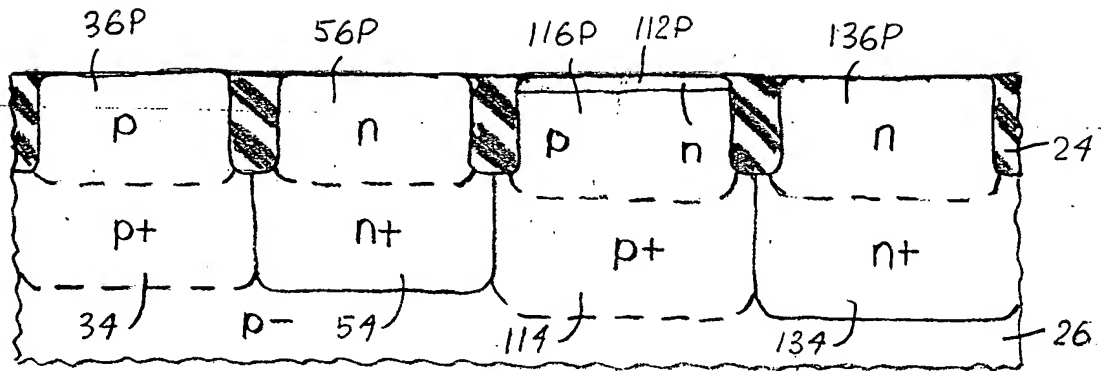
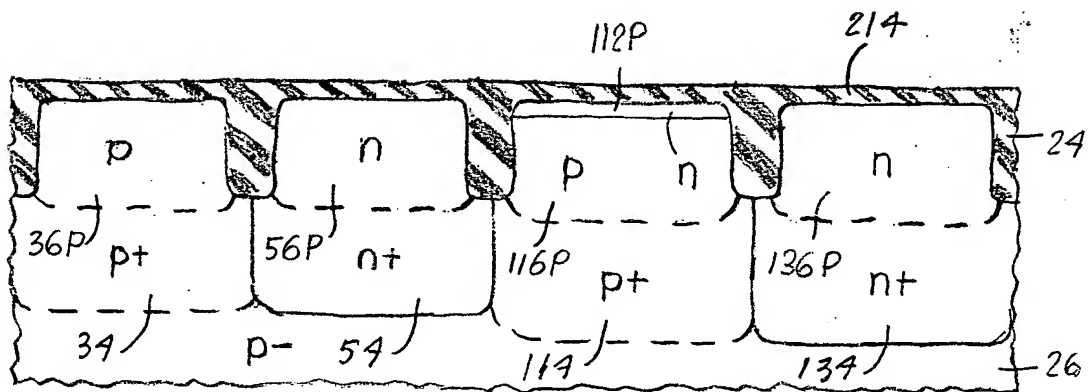
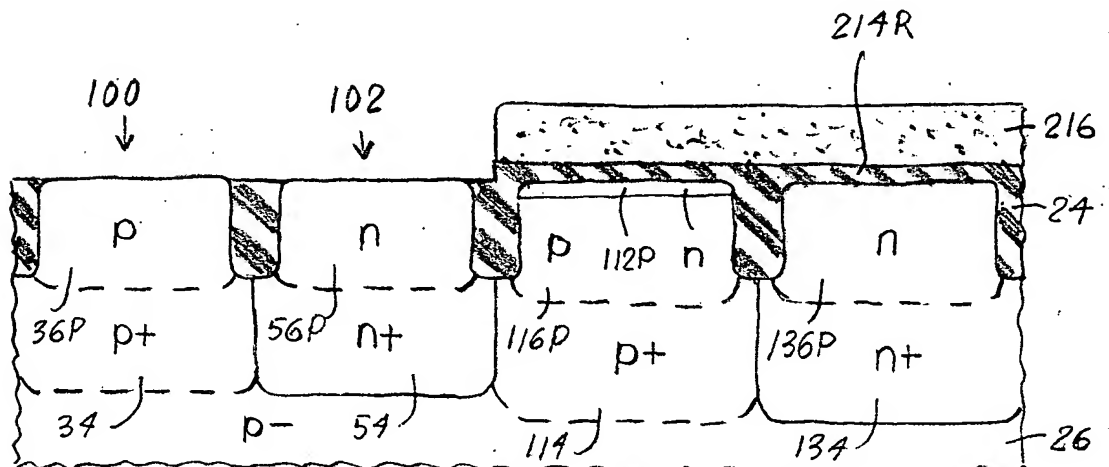


Fig.  
12jFig.  
12kFig.  
12l



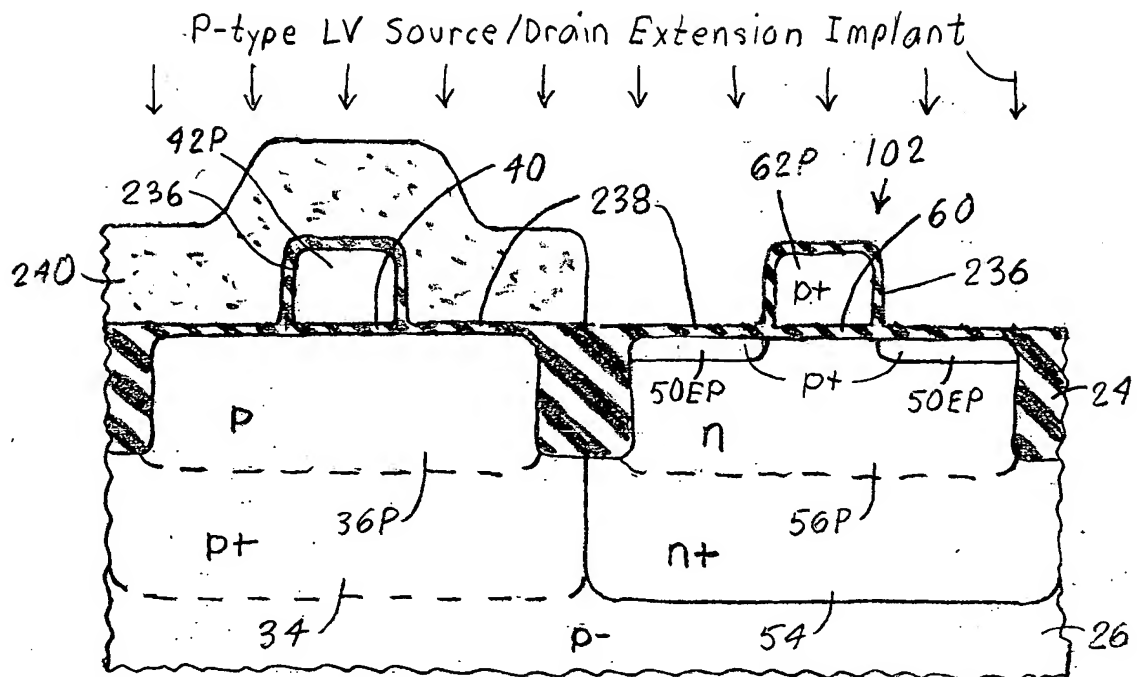


Fig. 12p.1

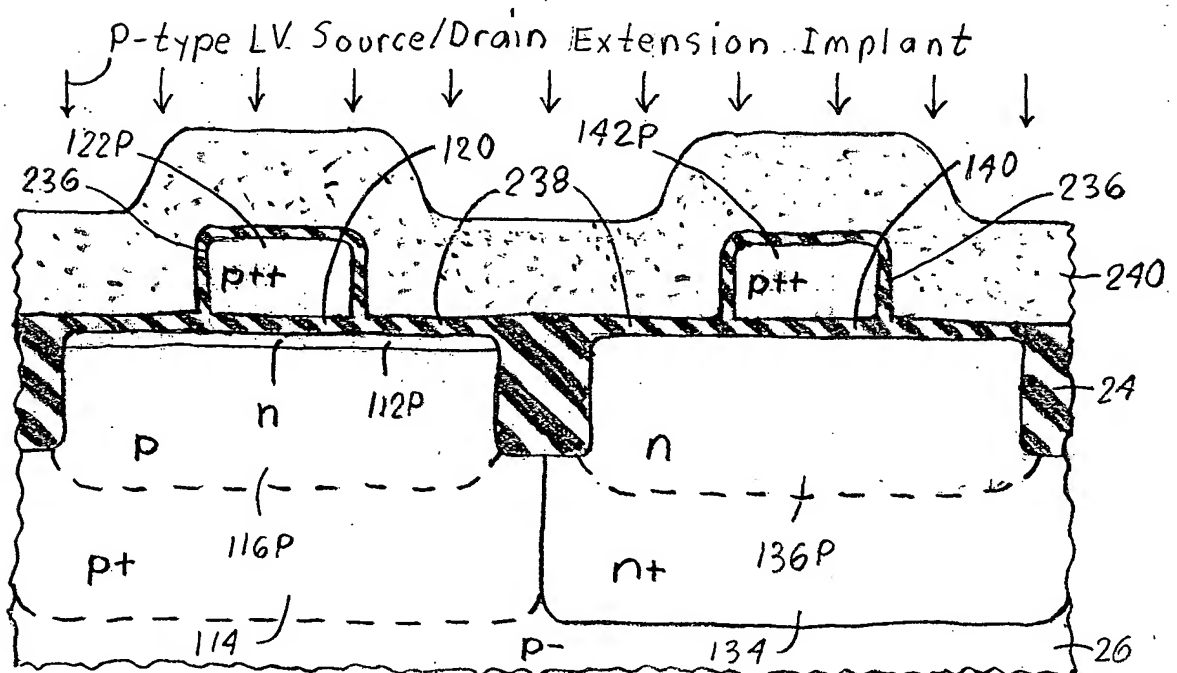


Fig. 12p.2





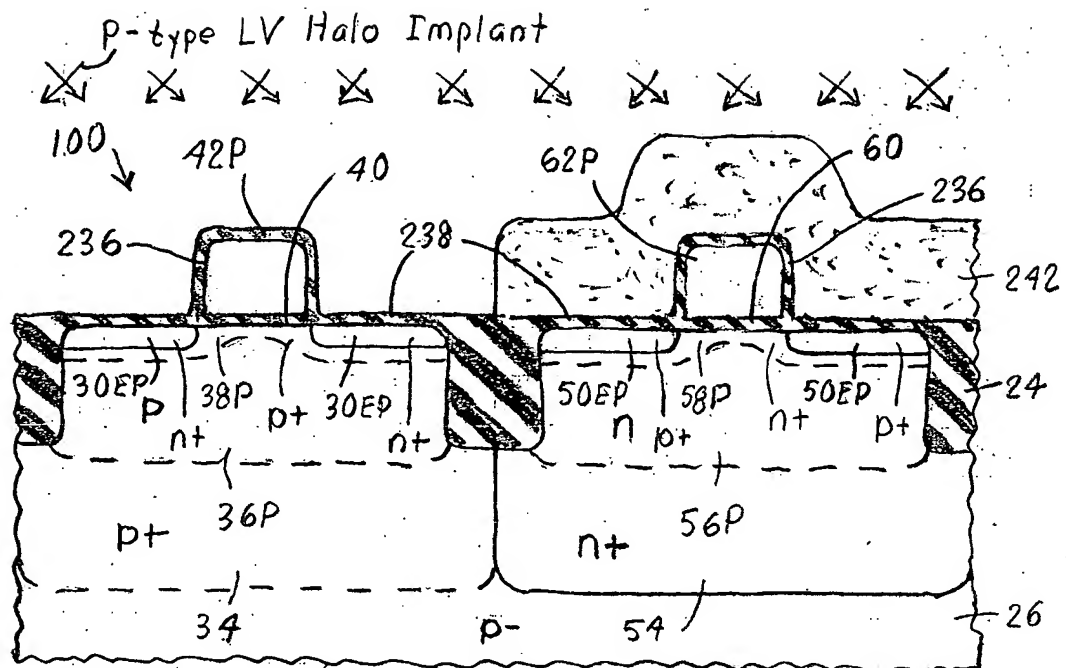
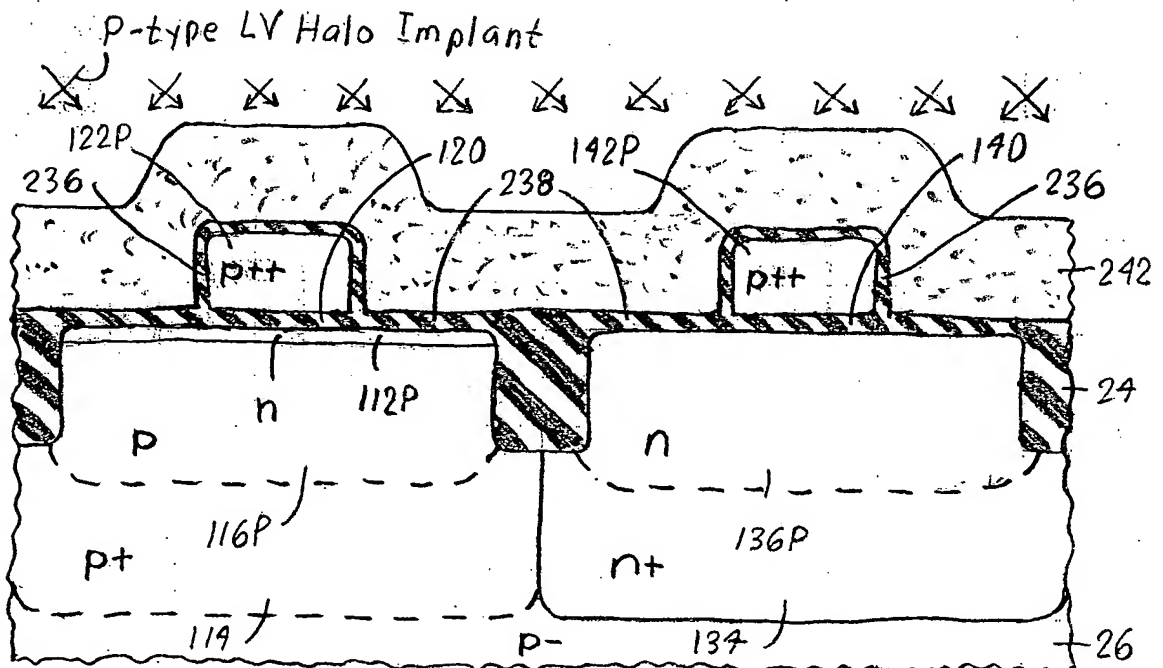


Fig. 125.1







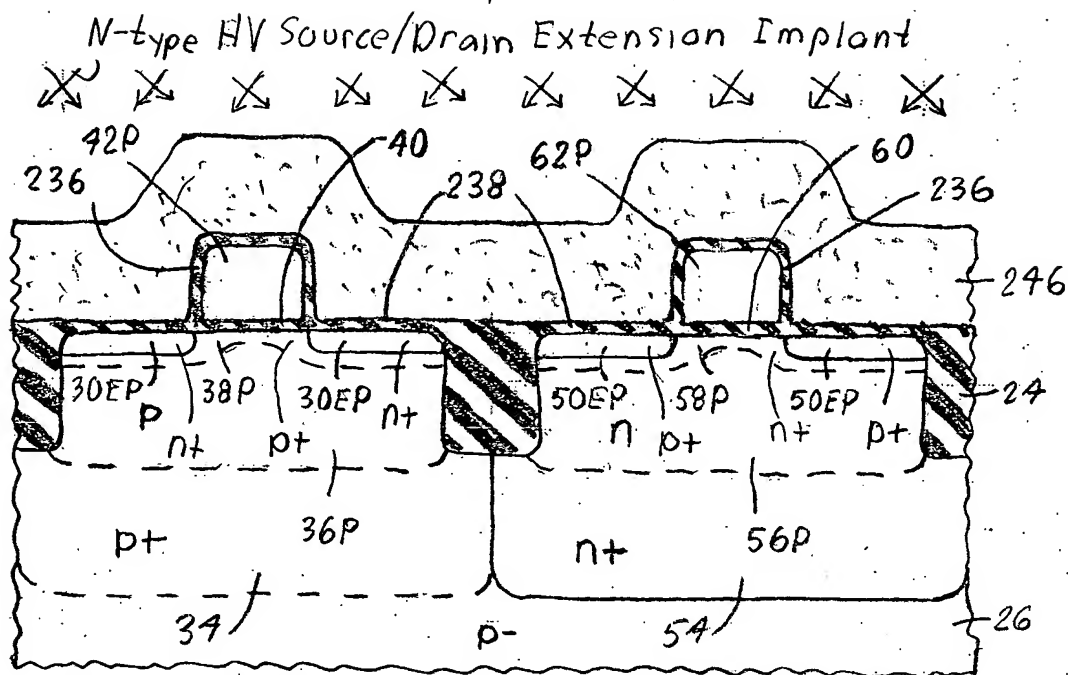


Fig. 12u.1

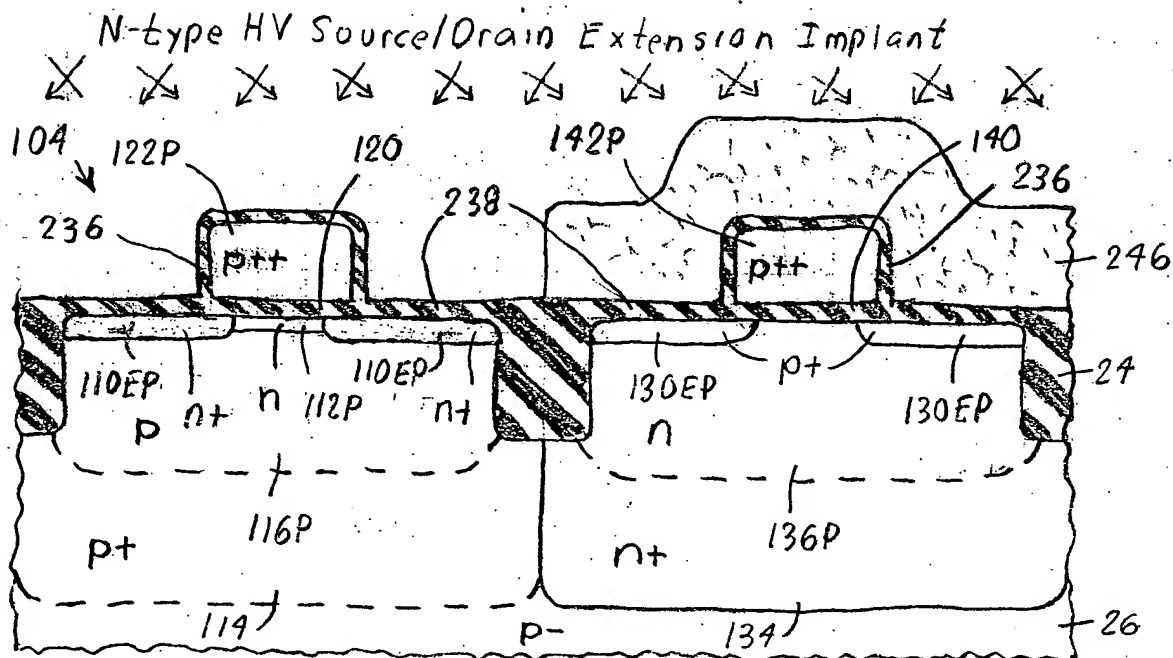
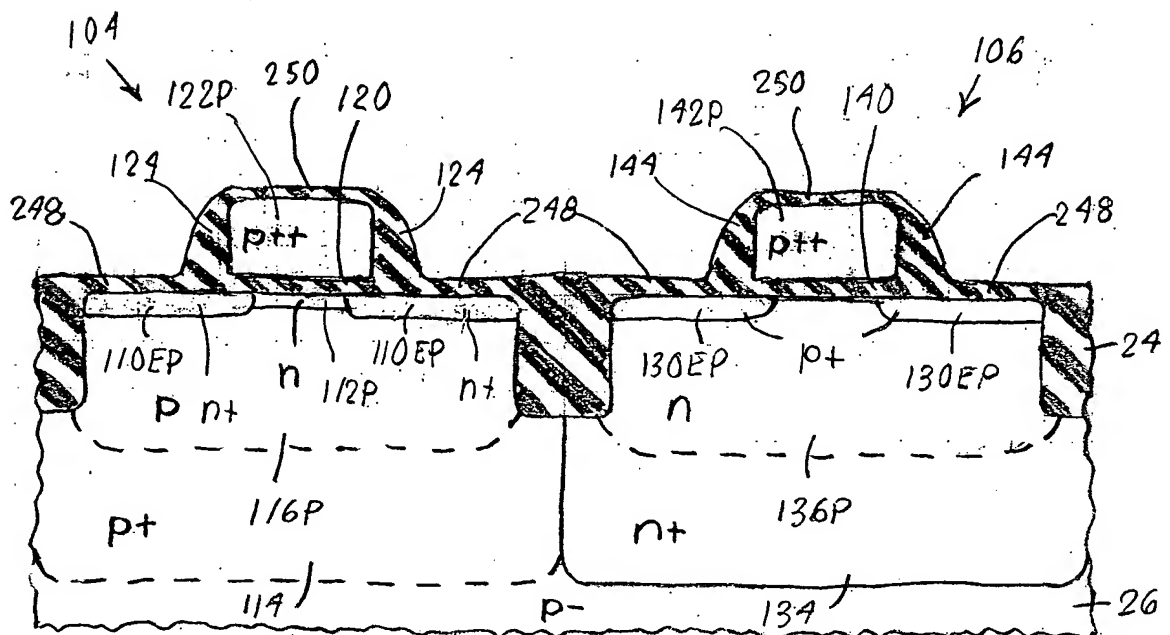
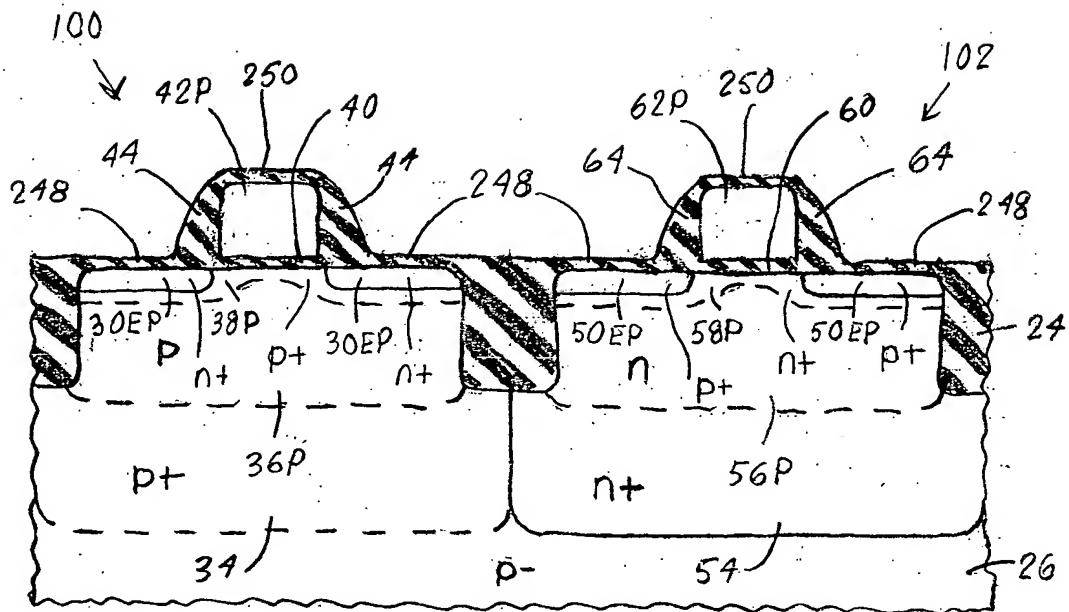
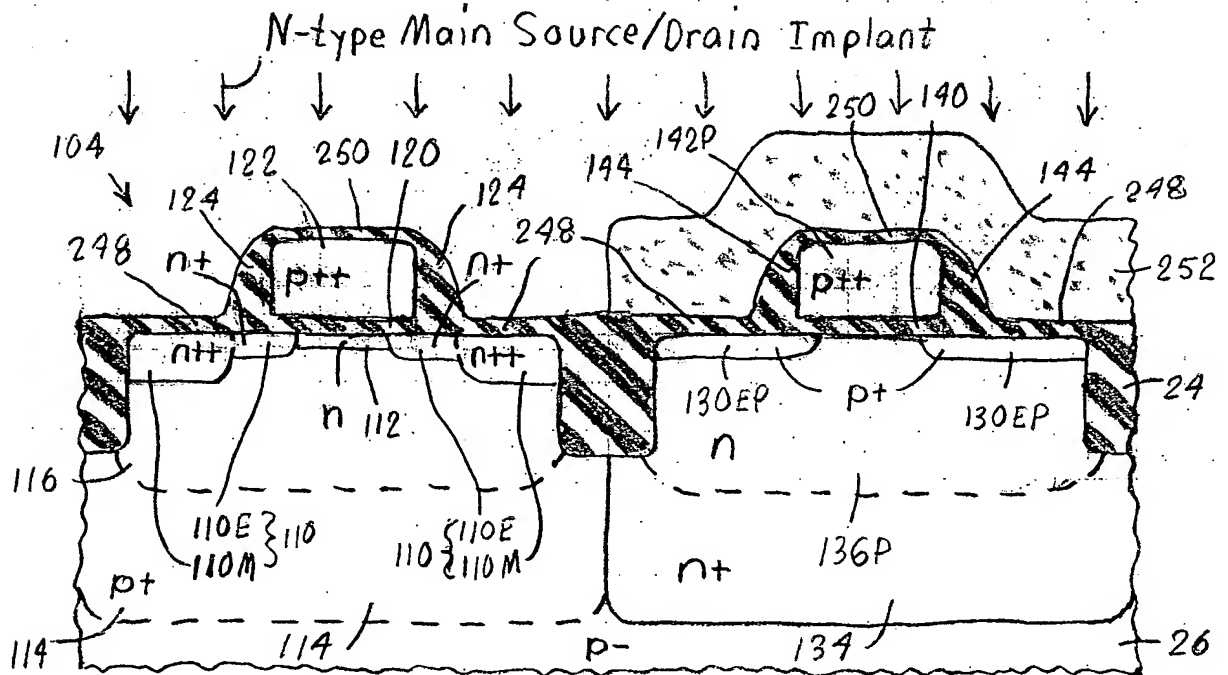
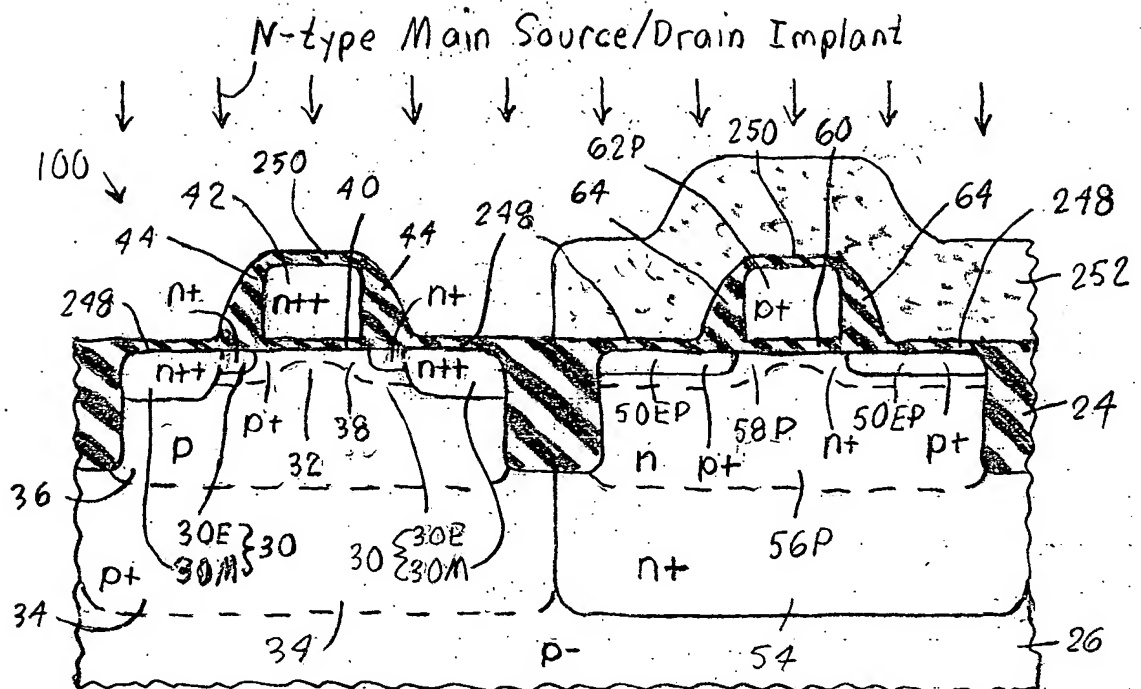


Fig. 12u.2





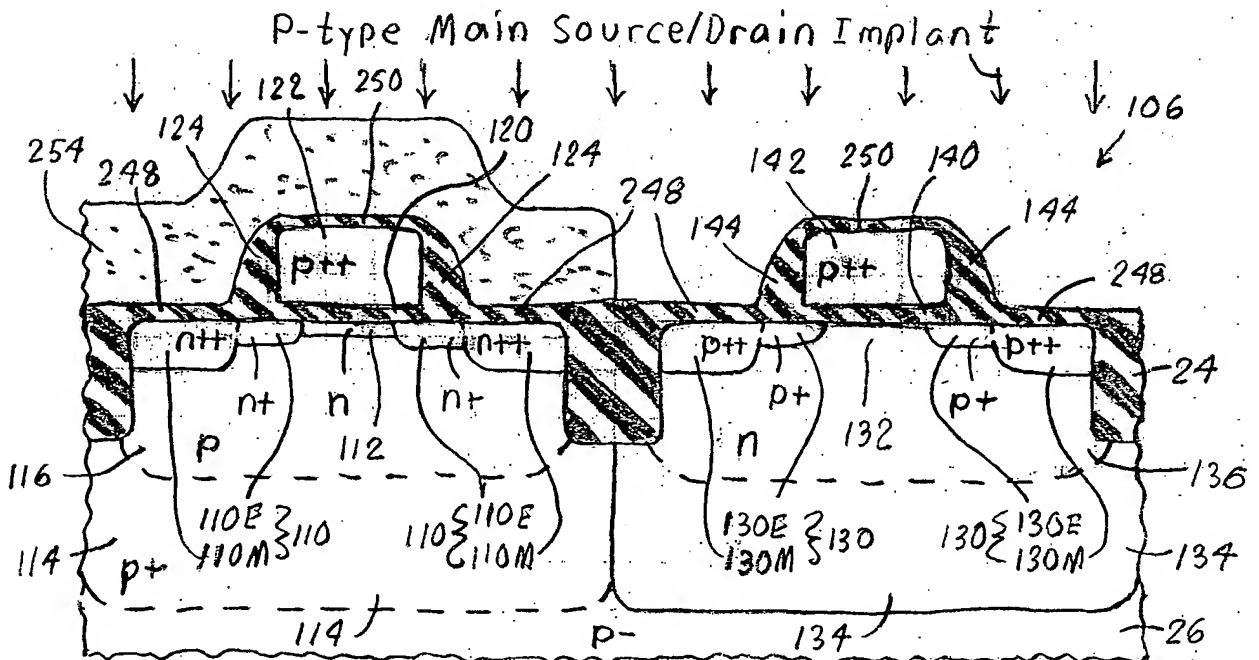
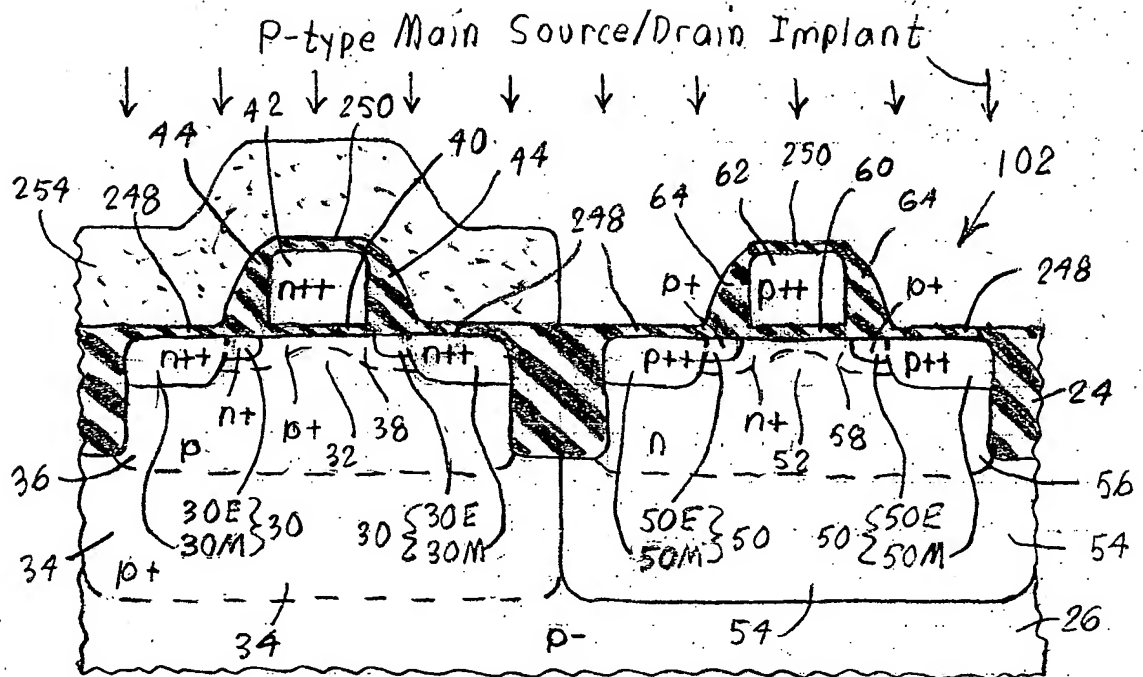


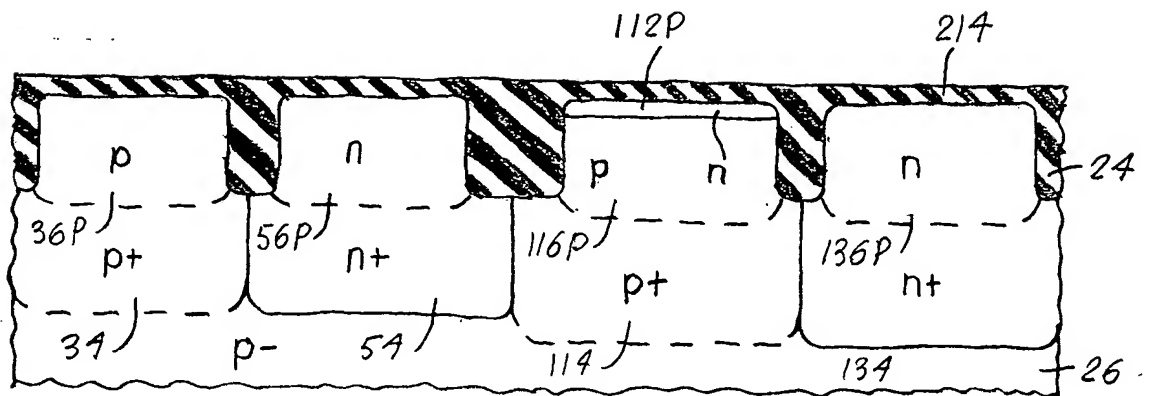
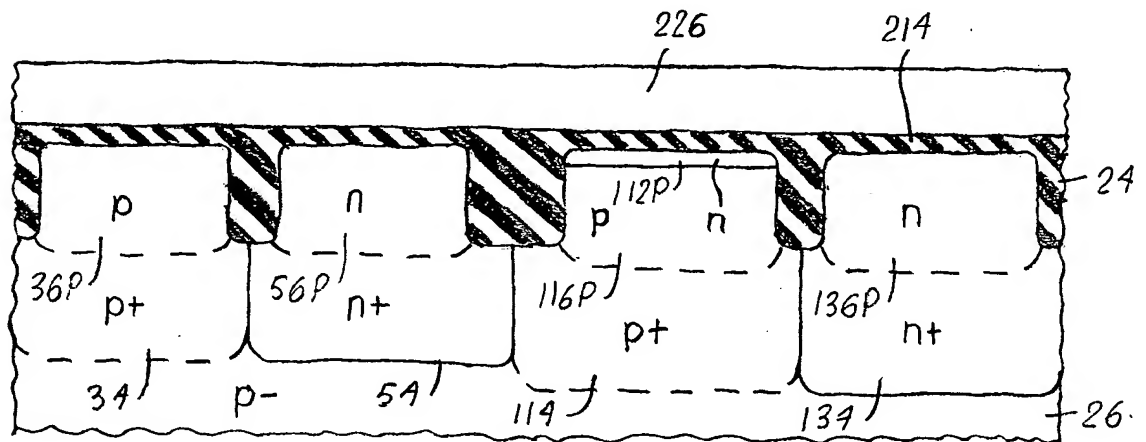
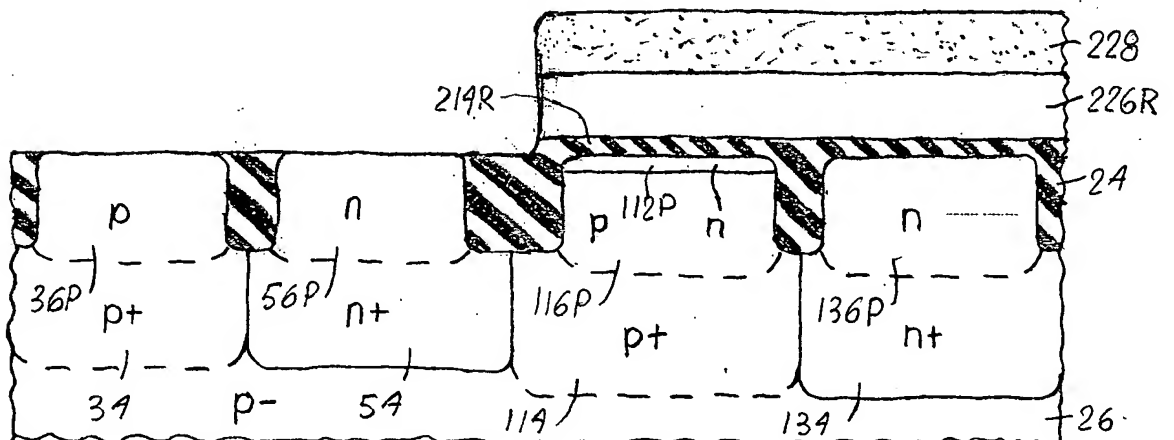
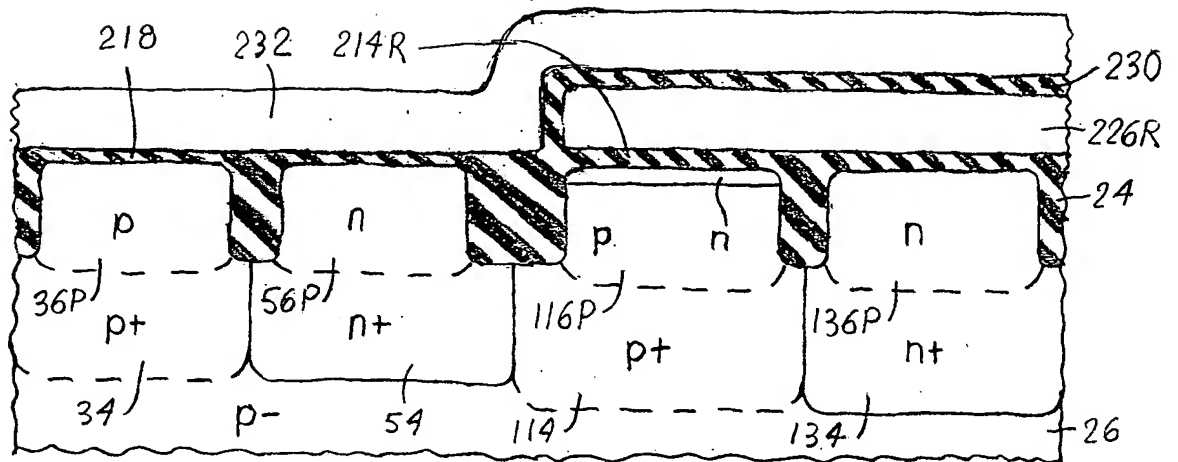
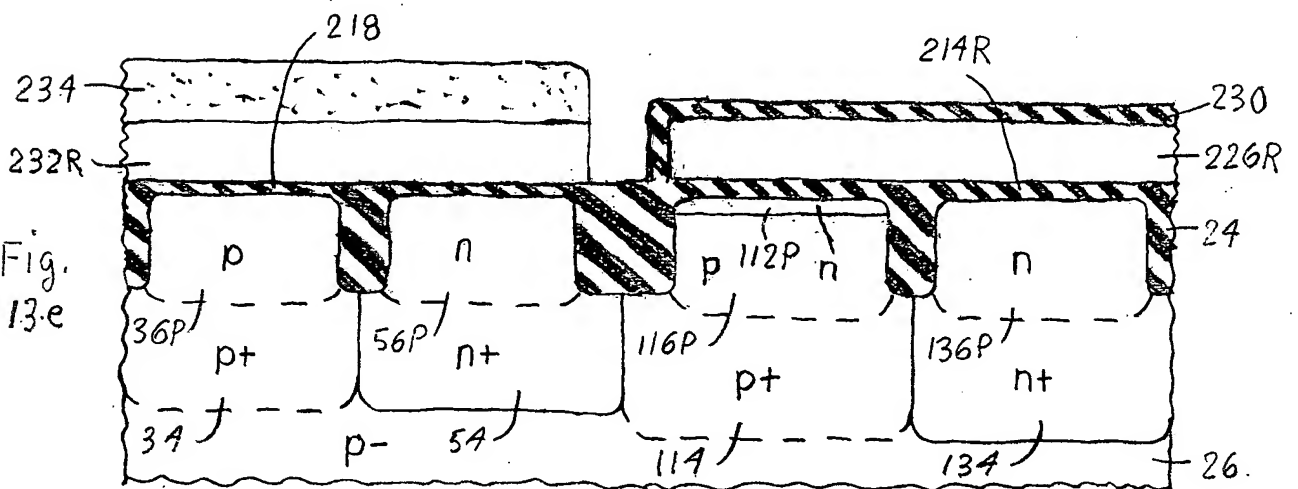
Fig.  
13aFig.  
13bFig.  
13c

Fig.  
13dFig.  
13eFig.  
13f